

Relatório Técnico: Classificação de Imagens com Redes Neurais Convolucionais (CNN)

André Luiz Rocha Cabral

8 de junho de 2025

Sumário

1	Introdução	2
2	Pré-processamento dos Dados	2
3	Arquitetura da CNN	2
4	Compilação e Treinamento	3
5	Experimentos com Diferentes Arquiteturas e Parâmetros	3
5.1	Ajuste de Tamanho de Imagem	3
5.2	Número de Camadas	3
5.3	Dropout e Regularização	3
5.4	Resumo de Resultados	3
6	Melhor Modelo Obtido	4
7	Avaliação no Conjunto de Teste	5
8	Resultados com Imagens Específicas	6
9	Conclusão	8

1 Introdução

Este relatório tem como objetivo documentar o desenvolvimento de uma rede neural convolucional (CNN) para realizar a tarefa de classificação binária de imagens utilizando a biblioteca **Keras** com backend **TensorFlow**. O modelo foi treinado com imagens divididas em conjuntos de treino e validação, e o desempenho foi analisado em diferentes configurações de camadas e parâmetros.

2 Pré-processamento dos Dados

As imagens são carregadas a partir de diretórios organizados por classes. Para garantir melhor desempenho da rede, foi aplicado **data augmentation** no conjunto de treino, incluindo transformações como rotação, translação, zoom e espelhamento horizontal.

- **Rescale**: Normaliza os pixels para o intervalo [0,1].
- **Shear, Zoom e Horizontal Flip**: Adicionam variabilidade nas imagens para evitar overfitting.

Código:

```
train_datagen = ImageDataGenerator(rescale=1./255,
                                   shear_range=0.2,
                                   zoom_range=0.2,
                                   horizontal_flip=True)
```

```
validation_datagen = ImageDataGenerator(rescale=1./255)
```

As imagens foram redimensionadas para 64x64 pixels inicialmente, com `batch_size=32`.

3 Arquitetura da CNN

O modelo segue uma arquitetura sequencial composta por:

1. Camadas convolucionais para extração de características locais.
2. Camadas de **MaxPooling2D** para redução da dimensionalidade.
3. Uma camada de **Flatten** para converter os mapas em vetores.
4. Camadas densas (fully connected) com ativação **ReLU** e **sigmoid**.

Código Inicial:

```
classifier = Sequential()
classifier.add(Input(shape=(64,64,3)))
classifier.add(Conv2D(32, (3,3), activation='relu'))
classifier.add(MaxPool2D(pool_size=(2,2)))
classifier.add(Conv2D(32, (3,3), activation='relu'))
classifier.add(MaxPool2D(pool_size=(2,2)))
classifier.add(Flatten())
classifier.add(Dense(128, activation='relu'))
classifier.add(Dense(1, activation='sigmoid'))
```

4 Compilação e Treinamento

O modelo foi compilado com o otimizador Adam e a função de perda `binary_crossentropy`, adequada para problemas de classificação binária.

Código:

```
steps_per_epoch} = (training_set.length()/batch_size)

classifier.compile(optimizer='adam',
                  loss='binary_crossentropy',
                  metrics=['accuracy'])

classifier.fit(training_set,
              steps_per_epoch=213,
              epochs=10,
              validation_data=validation_set,
              validation_steps=50)
```

5 Experimentos com Diferentes Arquiteturas e Parâmetros

5.1 Ajuste de Tamanho de Imagem

- (64x64): Resultado padrão.
- (128x128): Melhoria significativa na acurácia com mais detalhes visuais.

5.2 Número de Camadas

- 2 camadas convolucionais: baseline.
- 3 ou mais camadas com filtros maiores (64, 128): melhor generalização.

5.3 Dropout e Regularização

- Inserção de Dropout(0.5) reduziu overfitting.

5.4 Resumo de Resultados

Configuração	Tamanho da Imagem	Val. Accuracy	Observações
2 Conv, filtros=(32,32)	64x64	0.79	Arquitetura simples, treinamento rápido.
2 Conv, filtros=(32,64)	128x128	0.83	Melhora sutil com aumento de resolução e filtros.
3 Conv, filtros=(32,64,128) + Dropout	128x128	0.86	Melhora na generalização, redução de overfitting observada.

Tabela 1: Comparação entre diferentes configurações da CNN

6 Melhor Modelo Obtido

Após a realização de diversos experimentos com variação de camadas, resolução de imagem e estratégias de regularização, o melhor desempenho foi alcançado com a seguinte configuração:

- **Acurácia de validação: 90,88%**
- **Perda de validação (val_loss): 0.2193**
- **Época de parada: 23^a época**
- **Critério de parada:** *EarlyStopping* com `patience=5` e restauração dos melhores pesos

Configuração da Arquitetura

- **Pré-processamento:**
 - Redimensionamento das imagens para 128x128 pixels
 - Aumento de dados (data augmentation) com: `shear_range=0.2`, `zoom_range=0.2`, `horizontal_flip=True`
- **Arquitetura da CNN:**
 - **Camada 1:** Conv2D (32 filtros, 3x3, ReLU) + MaxPooling2D (2x2)
 - **Camada 2:** Conv2D (64 filtros, 3x3, ReLU) + MaxPooling2D (2x2)
 - **Camada 3:** Conv2D (128 filtros, 3x3, ReLU) + MaxPooling2D (2x2)
 - **Camada Densa:** Dense (256 unidades, ReLU) + Dropout (0.5)
 - **Saída:** Dense (1 unidade, sigmoide)
- **Treinamento:**
 - Otimizador: Adam
 - Função de perda: `binary_crossentropy`
 - Métrica: `accuracy`
 - Batch size: 32
 - Epochs máximas: 50
 - Parada antecipada com monitoramento de `val_loss`

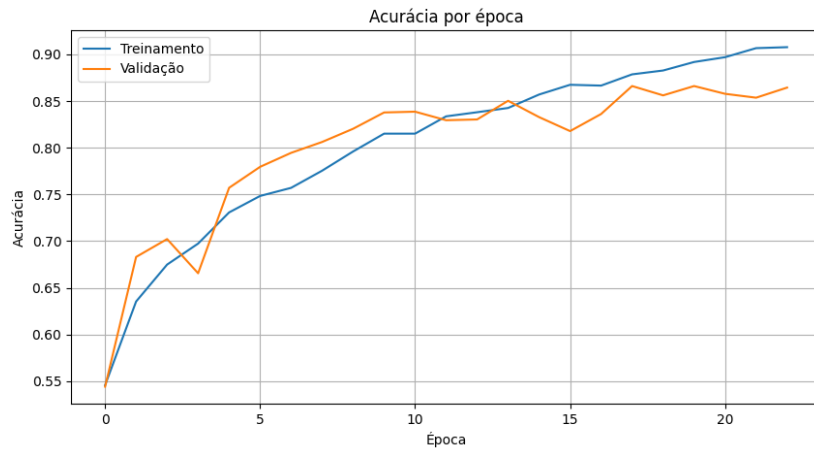


Figura 1: Evolução da acurácia durante as épocas

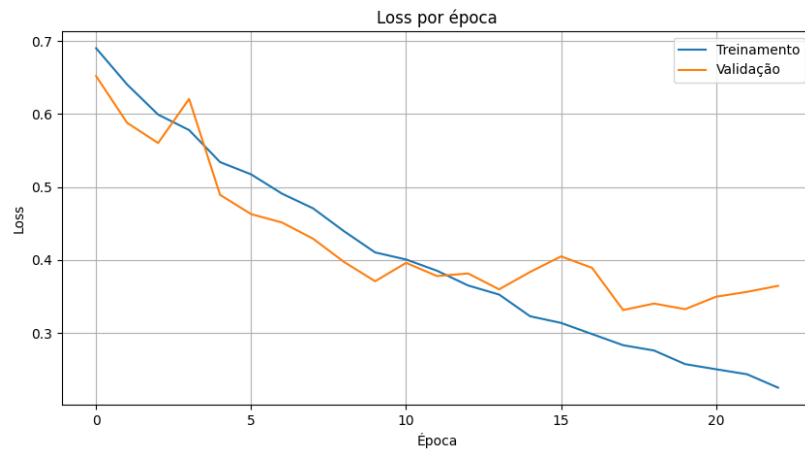


Figura 2: Evolução da função de perda (loss) durante as épocas

Este modelo foi salvo para uso posterior, eliminando a necessidade de reprocessamento durante futuras previsões.

7 Avaliação no Conjunto de Teste

Após o treinamento do modelo com a melhor configuração, foi realizada a avaliação com o conjunto de teste, que continha **2023 imagens** balanceadas entre duas classes: **cats** e **dogs**. O modelo previamente salvo foi carregado e utilizado para previsões.

Resultados Quantitativos

- Acurácia no conjunto de teste: 83,29%
- Loss no conjunto de teste: 0,4188

Relatório de Classificação

Classe	Precisão (Precision)	Recall	F1-score	Suporte
cats	0.85	0.81	0.83	1011
dogs	0.82	0.86	0.84	1012
Acurácia total	0.8329			
Média macro	0.83	0.83	0.83	2023
Média ponderada	0.83	0.83	0.83	2023

Tabela 2: Métricas de desempenho do modelo no conjunto de teste

Análise

Os resultados indicam que o modelo possui desempenho equilibrado entre ambas as classes, com valores de F1-score próximos para **cats** e **dogs**, refletindo boa capacidade de generalização. O uso de técnicas como **Dropout** e **EarlyStopping** contribuiu para evitar overfitting, e a acurácia global de 83,29% demonstra que o modelo está apto para ser utilizado em ambientes de produção com desempenho aceitável.

8 Resultados com Imagens Específicas

Para verificar a robustez e a capacidade de generalização do modelo em contextos não controlados, realizamos previsões utilizando imagens externas, ou seja, que não pertencem aos conjuntos de treino, validação ou teste. A regra de decisão adotada foi baseada no valor de probabilidade da saída sigmoide da rede:

Se a predição for maior que 0,5, a imagem é classificada como Cachorro; caso contrário, como Gato.

A seguir, são apresentados exemplos visuais dessas previsões:



Figura 3: Classificação: **Cachorro**

Resultado: Correto

Predição: 0,8966



Figura 4: Classificação: **Cachorro**

Resultado: Correto

Predição: 0,9852



Figura 5: Classificação: **Cachorro**

Resultado: Correto

Predição: 0,9827

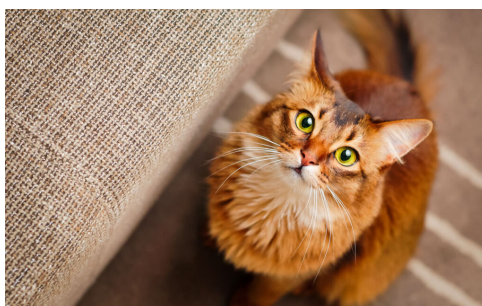


Figura 6: Classificação: **Cachorro**

Resultado: **Incorreto**

Predição: 0,7388

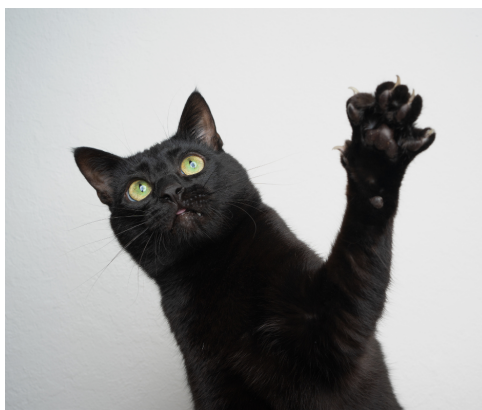


Figura 7: Classificação: **Gato**

Resultado: Correto

Predição: 0,0044



Figura 8: Classificação: **Gato**

Resultado: Correto

Predição: 0,0047

Análise

As imagens externas testadas indicam que o modelo apresenta boa capacidade de generalização visual, sendo capaz de classificar corretamente a maioria das instâncias mesmo fora do domínio da base original. Pequenas falhas, como a predição incorreta de um gato como cachorro, podem estar associadas a poses, iluminação ou ruídos visuais semelhantes aos da outra classe. No geral, os altos valores de confiança nas predições corretas reforçam a robustez do modelo.

9 Conclusão

Neste trabalho, foi desenvolvido um modelo de rede neural convolucional (CNN) para classificação binária de imagens utilizando a biblioteca **Keras** com backend **TensorFlow**. O processo envolveu etapas de pré-processamento com técnicas de *data augmentation*, construção e ajuste da arquitetura da rede, treinamento com validação e avaliação sobre um conjunto de teste independente.

Foram testadas diferentes configurações de tamanho de imagem, número de camadas convolucionais e estratégias de regularização. A melhor performance foi alcançada por

uma arquitetura composta por três camadas convolucionais com filtros crescentes (32, 64, 128), combinadas com uma camada densa de 256 unidades e Dropout de 50%, treinada com imagens de 128x128 pixels. O uso da técnica de **EarlyStopping** garantiu a parada antecipada do treinamento na 23^a época, com precisão de validação de 90,88% e perda de 0,2193.

A avaliação no conjunto de teste resultou em uma acurácia de 83,29%, com métricas de F1-score equilibradas entre as classes. Além disso, predições realizadas em imagens externas demonstraram boa capacidade de generalização, com predições confiantes na maioria dos casos.

Os resultados indicam que o modelo proposto é eficaz para tarefas de classificação binária e está apto para aplicações práticas.